

計量技术与仪器制造学会热工专业第一屆年会

論文彙編

計量技术与仪器制造学会热工专业委員會編

技术标准出版社出版

熱計
工量
專

10/08
10/10

計量技术与仪器制造学会热工专业第一届年会
論文汇編

*

国家科委計量局編輯（北京安外小黃庄）

技术标准出版社出版（北京復外三里河）

（北京市书刊出版业营业许可证出字第114号）

北京市印刷一厂印刷

新华书店北京发行所发行 各地新华书店經售

*

开本 787×1092 1/16 印张 14 1/8 字数 340,000

1965年1月第一版 1965年1月第一次印刷

印数 1—5,200 定价(科六): 1.80 元

*

统一书号: 15169·5—2

72.5083
369

前　　言

本专业 1962 年 9 月在上海召开的第一届年会宣读论文有六十余篇，当时已发单行本，并没有编印成册发行。后以单行本供不应求，在 1963 年 4 月本委员会决定编印本册，并选定 20 余篇，通知原文作者予以修正。现本册共收集 26 篇，均是经过原作者修改的，而且有个别论文作了大的修改，也有个别论文作了补充试验。惟编辑时间牵延太长，谨致歉意。

中国计量技术与仪器热工专业委员会
制造学会筹备委员会

1965 年 1 月

369/08

目 录

- | | |
|-------------------------------------|-----------------------|
| 1. 热工参数的气測法..... | 刘 豹(1) |
| 2. 50点气动巡迴检测装置的初步研究..... | 康庆宇 盛微权 张均惠(10) |
| 3. 热辐射定律的某些性质..... | 廖炯生 肖功弼(16) |
| 4. 对标准溫度灯直接用交流电源供电的分析和試驗..... | 龔家彪 秦蔭堂(25) |
| 5. 測溫达1800°C鉑銠——鉑銠热电偶的試驗与分度..... | 陈竹生 李訏謨 郑 芳(35) |
| 6. GD-61-3型光电高溫計..... | 馮玄暉 邓恩民(41) |
| 7. 电阻炉的二位調節器..... | 黃泽仁 王振揚(47) |
| 8. 应变式高溫快速压力計动特性實驗及分析..... | 溫宝棟(52) |
| 9. 計算流量測量用标准孔板的經驗公式..... | 龔家彪(63) |
| 10. 涡輪流量計的研究..... | 张关富 肖功弼(74) |
| 11. 內磁式涡輪流量变送器..... | 刘德俊 范建文 楊根生 王昌弟(89) |
| 12. 电磁流量計的某些問題..... | 王弥惠(96) |
| 13. 电磁流量計的研究与探討..... | 吳安意 王石珍(105) |
| 14. 利用高頻諧振原理測量导电液体的液位..... | 张丽芬 王克璐(112) |
| 15. 放射性泥漿浓度計..... | 薛伯鈞 王兆青(127) |
| 16. 双光束紅外綫气体分析器的誤差与最佳結構参数的决定..... | 周昌震(133) |
| 17. 常溫下用絕热法测定液体或固体的真比热..... | 馮師顏 侯文理 鍾广學(139) |
| 18. 氯化鉀溶解热的測定..... | 馮師顏 李祥云(145) |
| 19. 轉換器电桥的参数选择問題..... | 王弥惠(149) |
| 20. 針形閥初探..... | 石明揚(159) |
| 21. 气动小放大器的改进..... | 康庆宇 余善富(170) |
| 22. 閘流管控制 γ 继电器电路的設計和分析..... | 沈宝夔 譚年昌 周芸若(181) |
| 23. 通用单元組合仪表系統电动模拟部分变送器設計方案的建議..... | 顧元成(192) |
| 24. 极值选择裝置..... | 叶新山 刘民权(204) |
| 25. 晶体管磁性乘除器之研究..... | 楊起行(209) |
| 26. 气动定值器的研究..... | 潘厚昌 陈荣光 朱炳兴(216) |

热工参数的气测法

刘 猛

前 言

气动自动化技术工具在现代自动化系统中得到广泛应用，它们具有经济、可靠、耐久，易于使用和维护。天然防燃防爆，不怕振动，不受离子场干扰，耐受高温，调节作用均滑，执行机构轻巧等优点。但是它们也有较难克服的缺点，例如反应较慢，传送距离较近，测量参数类型不广等。在气动测量方法和测量工具方面，存在的问题是较多的。近几年来，这一问题不仅得到重视，而且也得到一定程度的解决。本文就现有的和可能的气动测量方法以及实现这些方法的仪器的构成原理进行系统分析，以便有关科技人员进一步发展新型气动测量方法和工具。

热工参数的气测法是指将各种热工参数，经过发送器或中间转换器，或者就直接转换成在一定范围内变动的气压讯号的方法*。这里，所谓热工参数是广义的，它指自动化系统中从生产过程中测算到的任何有利于自动控制的参数。它们可以分成三种类型：第一种是基本热工参数，例如温度，压力，流量，介质成分等等；第二种是综合参数，例如热交换器的传热系数，原动机的功率或效率，某些生产过程的特定的经济指标等等；第三种是有关生产过程动态特性的参数指标，或简称动态参数，例如对象的时间常数 T ，时间常数比 τ/T ，单位过渡函数，频率特性或相关函数等。

1. 基本热工参数的气测法

气测基本热工参数的方法有二：中间转换法和动态法。动态法利用封闭液罐液面上部空间和测量讯号输入管线上气阻所构成的单容量环节的频率特性而测得液面的^[1]，其测量精度和

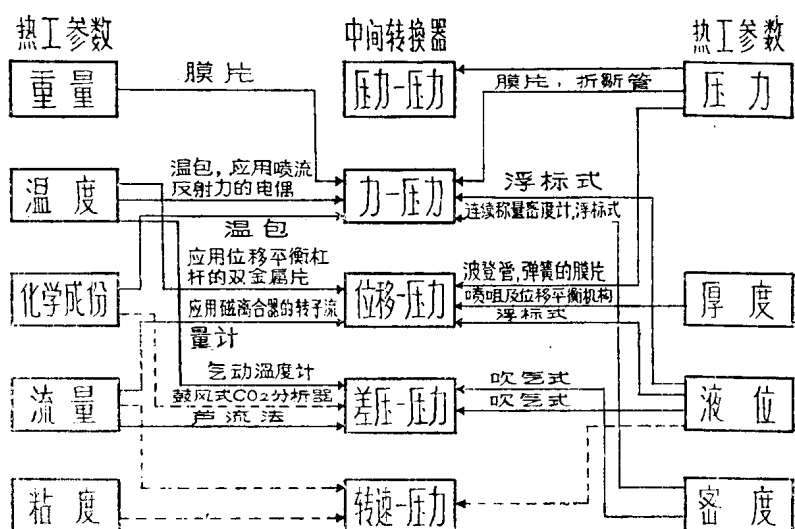


图 1

* 本文不拟讨论有关气动多点测量，气动远距离测量以及气动数字测量的问题。

指示方式都須进一步改善才有实用价值。得到普遍应用的是中間轉換法，利用某些物理特性，将被測基本热工参数轉換成力、位移、差压、轉速等較易轉化成压力的中間参数，然后用中間轉換器轉化成在一定范围内变化的压力。

气动中間轉換器有力-压力、位移-压力、差压-压力，压力-压力、轉速-压力等五种。后两种在实际中很少当作測量工具，压力-压力轉換器是高低压轉換器和非綫性函数发生器中的重要部分。轉速-压力轉換器也可当作气动計时机构或气动馬达。各种基本热工参数以及它們相配的中間轉換器見图 1，图中虛綫表示这种配合是可能的。

著者就中間轉換器設計中几个重要問題，論述如下。

a. 反 饋 理 論

在中間轉換器結構中应用反饋，可以提高測量系統的精度和減少結構中某些元件不稳定性及非綫性特性的影响。应用反饋就形成了力平衡或位移平衡式結構。最简单的力平衡式

轉換器如图 2 所示。

它的近似传递函数是

$$\frac{\hat{p}}{\hat{F}} = \frac{L}{A_1 L_1 + A_2 L_2} \quad (1)$$

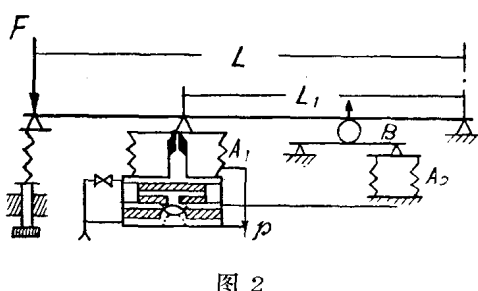


图 2

式中 L, L_1 —各支点間距离，如图 1 所示；

L_2 —可以用球 B 調整的相应距离；

A_1, A_2 —折皺管的有效面积。

結構中噴嘴-挡板放大机构的放大系数愈大，则(1)式的近似程度就愈高。轉換器的輸入 F 和輸出 p 間的关系是一个和(1)式中 L, L_1, L_2, A_1, A_2 諸参数有关的正比值。

对于反应速度很低的发送器，例如溫包式溫度发送器，最好在轉換器的构成線路中引用非周期負反饋如图 3，以形成比例加微分作用。

它的近似传递函数是

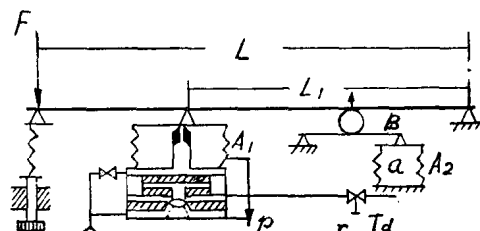


图 3

$$\frac{\hat{p}}{\hat{F}} = \frac{L(T_d s + 1)}{K T_d s + 1} \quad (2)$$

式中 $T_d = R_d C_d$ —微分时间常数；

R_d —气阻 r 的气阻值；

C_d —由折皺管气室 a 形成的气容值；

$$K = \frac{L_1 A_1}{L_1 A_1 + L_2 A_2}$$

如果将时间常数 T_d 調整得等于发送器的滞后時間值，則全系統的反應速度約可提高 K 倍。

在某些轉換器的机械杠杆結構中，机械杠杆的质量往往会引起振蕩，保証这种系統的稳定性及精度的較好方法是在系統中引入非周期正反饋^[2]，見圖4。其方块图見圖5。

原开网传递函数为

$$W(S) = \frac{K_o}{MS^2 + RS + C} \quad (3)$$

引入非周期正反饋后的开网传递函数变为

$$W_1(S) = \frac{K_{o1}(T_i S + 1)}{(MS^2 + RS + 1)T_i S} \quad (4)$$

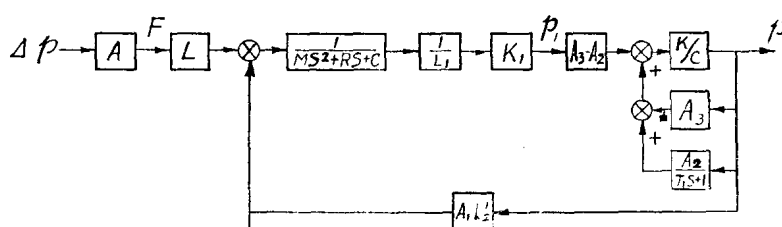


图 5

比較上两系統的根軌跡，圖6(a)和6(b)，顯然可知，引用正反饋後將使系統更穩定，并使之成为一个一阶无差系統。

在設計氣動中間

轉換器時，如何利用反饋理論以改善結構的問題是值得考慮的。

b. 噴流反射力

在一般形式的氣動轉換器中，噴嘴擋板機構中噴嘴噴射氣流對擋板的反射力是嚴重影響儀器的靈敏度的一個因素。現在，已有辦法利用它構成小輸入力的力-壓力轉換器，見圖7(a)，它可以直接將熱電偶的輸出訊號轉換為壓力訊號^[3]。採用了噴流反射力的作用原理，可以構成簡便的電-氣轉換器，後者在構成合理而實用的兼備氣動和電動自動化工具各自優點的自動控制系統中是大有用處的。此外，基於這種原理，還可構成構造簡單的高壓氣動放大器，見圖7(b)^[4]。

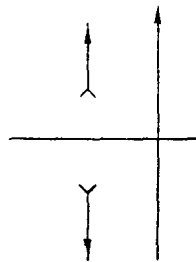


图 6(a)

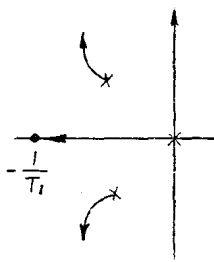


图 6(b)

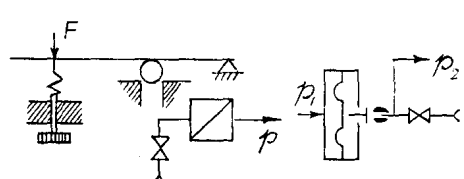


图 7

c. 气动线路

气动线路是中间转换器，特别是压力-压力转换器中的重要组成部分。很多气动测量問題都可用几个串联或并联的气阻气路来解决。气路的几种重要应用如下。

(1) 分压器

分压器由一根串联着几个气阻的气路所构成，如图 8。气路中输出压力 p 与输入压力 p_1 间的关系如下

$$p = \frac{r_2}{r_1 + r_2} p_1 \quad (5)$$

式中 r_1, r_2 ——气路上串联两气阻的气阻值。

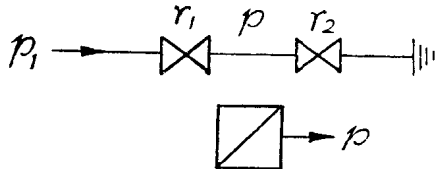


图 8

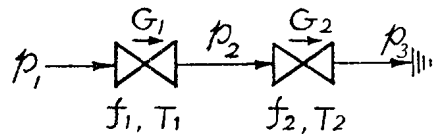


图 9

(5) 式的精确度决定于所用气阻的线性特性。毛细管在层流条件下工作，并且用管端层流初始段的影响来补偿空气压缩性的影响可以保证它的线性特性^[6]，在低压下适当取用较大的毛细管长径比也可保证其线性特性。

(2) 气动温度计

用一根串联有两个气阻的气路可以构成气动温度计，见图 9^[6]。按两串联气阻中质量流量相等的条件，可得下列关系式

$$f_1 \sqrt{2g\nu_1(p_1 - p_2)} = f_2 \sqrt{2g\nu_2(p_2 - p_3)} \quad (6)$$

又从理想气体定律，上式可改写成

$$T_1 = C \cdot \Delta p \frac{T_2}{\Delta p_2} \cdot \frac{1}{1 - \frac{\Delta p_1}{p_1}} \quad (7)$$

式中 T_1, T_2 ——流经各气阻的空气的绝对温度；

$$C = \left(\frac{f_1}{f_2} \right)^2 \quad (8)$$

f_1, f_2 ——各气阻上流通截面的有效面积；

p_1, p_2, p_3 ——各为两气阻前、中间及后面的空气压力；

$\Delta p_1, \Delta p_2$ ——各为前后两气阻上的压降。

如果使温度 T_2 和压降 Δp_2 保持不变，并使比值 $\Delta p_2/p_1$ 极小，则 (7) 式可简化为

$$T_1 = K \cdot \Delta p_1 \quad (9)$$

(3) 气桥线路

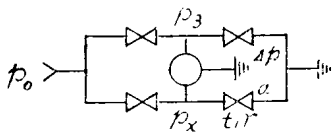


图 10(a)

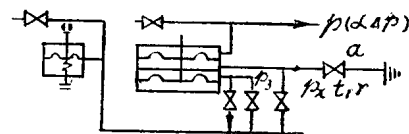


图 10(b)

图 10 (a) 所示为一不平衡气桥线路，它可用以测量气阻 α 周围介质的温度。Ferner 提出的具体结构如图 10 (b)^[4]。

气阻 α 的气阻值 r ，在层流条件下和流过气阻的空气的粘度成比例，而空气的粘度又

和它的溫度有关，故气阻值 r 是溫度 t 的一个已知函数，即

$$r=f(t) \quad (10)$$

若将供压保持恒定，则分压器上压力 p_x 也不变，线路的输出訊号 Δp 即直接指出了溫度变化

$$\Delta p = p_x - p_z = f_0(t) - K \quad (11)$$

(4) 自动平衡气桥

连接在气桥线路对角綫中的比較元件，即一个加法器的輸出压力可用来調整桥臂上某一气阻的气阻值，以平衡对角綫压力 p_x 和 p_z ，見图 11。平衡气桥上各气阻的气阻值之間有如下关系，

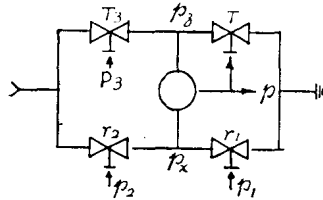


图 11

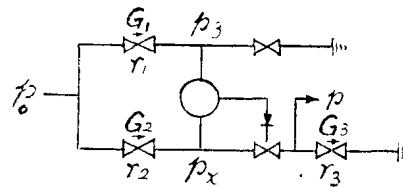


图 12(a)

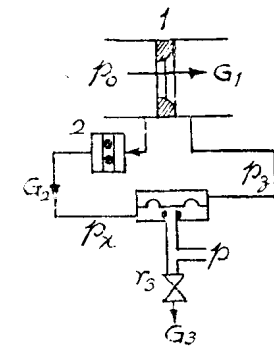


图 12(b)

$$r = \frac{r_2 r_3}{r_4} \quad (12)$$

如果气阻的气阻值可做成与作用压力成正比，则(12)式可轉化成(13)式，即

$$p = \frac{p_2 p_3}{p_4} \quad (13)$$

在上述桥路的基础上，可設計一个气体流量发送器，其原理見图 12 (a)，其结构綫路見图 12 (b)^[7]。結構简单的压力随动膜室可使两压力 p_x 和 p_z 相等，因而自动地平衡了桥路，同时由于孔板 1 和 2 上的压降相等，故流过孔板 1 的被測质量流量可以流过孔板 2 的质量流量来表示它们間的关系如下

$$G_1 = \frac{f_2}{f_1} G_2 \quad (14)$$

式中 f_1, f_2 ——各为孔板 1 和 2 的有效流通面积。

若泄空阻具有綫性特性，则等于流过孔板 2 的质量流量 G_2 的泄空流量 G_3 就可以压力 p 来表示，即

$$G_3 = G_2 = \frac{p}{r_3} \quad (15)$$

合併(14)和(15)两式，即得如下关系

$$p = r_3 G_2 = r_3 \cdot \frac{f_1}{f_2} G_1 \quad (16)$$

(5) 非綫性函数发生器

气动非綫性函数发生器在气动模拟計算机和气动发送器中有很大作用，它們可以用各种气动綫路构成。图 13 示列了 Ferner 所提出的一种具有开方根关系的綫路^[4]。空气在层

流条件下流过气阻 a , 而以湍流条件流过气阻 b 。按质量守恒定律, 可得下式

$$r_2 \sqrt{p_x \cdot p} = r_1 p$$

或

$$\left(\frac{r_2}{r_1}\right)^2 (p_x - p) = p^2 \quad (17)$$

因为加法器 C 的输出压力 p_x 是输入压力 p_1 与 p 之和, 故全线路的总输出压力讯号为

$$p = p_x - p_1 \quad (18)$$

消去(17)和(18)两式中的 p_x , 即得下列表示开方根关系的算式

$$p = \frac{r_2}{r_1} \sqrt{p_1} \quad (19)$$

采用不同气阻的排列方案, 可构成许多种二次型非线性函数关系^[8]。

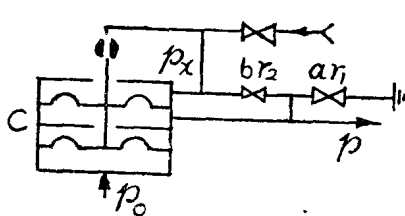


图 13

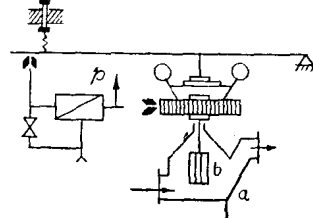


图 14

气动线路的应用范围很广, 而且将会进一步推广。在推广其应用范围的工作中重要的问题是研究具有线性特性的气阻和具有线性变化关系的可变气阻。

d. 转速-压力转换器

在气动调节器中已采用了透平式流量累积机构^[9]。在这种机构上加以某些改变, 就可设计出转速-压力转换器, 见图 14。它可用以测量罐 a 中流过液体的粘度, 若将其转翼 b 浸入某一罐中的液面, 即可测量罐中的液位。此外, 它也可用作恒速气动马达。

2. 综合参数的气测法

生产过程自动化发展的重要方向之一是从按生产过程中工作参数, 例如温度, 流量及压力等进行调节, 变成按工作参数及质量参数, 例如产品的化学成分进行调节, 最后又变为按工作参数, 质量参数以及某些综合参数进行综合控制。

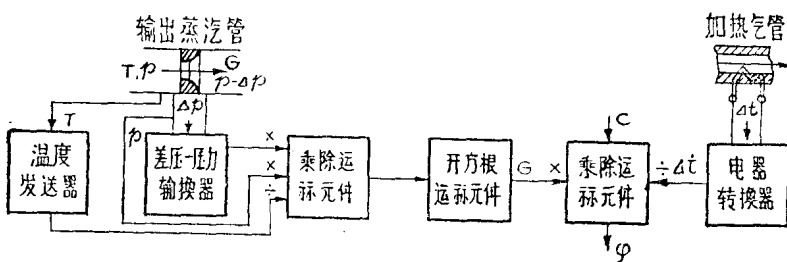


图 15

测量综合参数的特点是具有两个以上的测点, 各测得讯号要经过一定形式的加、减、乘、除或微分等运算。

糖浆蒸发器的自寻最佳控制系统^[10]

是众所周知的一个测量综合参数的例子, 在这系统中蒸发过程是按传热效果 φ 的最大值来

控制的，綜合参数是

$$\varphi = C \frac{G}{\Delta t} \quad (20)$$

式中 C ——与因次有关的常数；

Δt ——传热面两边的温差；

G ——蒸发蒸汽的质量流量。

如果要补偿蒸汽溫度和压力对它的质量流量的影响，则蒸汽质量流量这一基本热工参数本身就变成了一个綜合参数，其关系如下

$$G = C_1 \sqrt{\frac{\Delta p \cdot p}{T}} \quad (21)$$

测量綜合参数 φ 的气动线路見图 15。

气体高溫計^[11]的輸出訊号又是一个測量綜合参数的例子，这一綜合参数可用气动或电动线路测量，它們間具有下列关系

$$T_1 = K \left(\frac{\Delta p_1}{\Delta p_2} \right) T_2 \quad (22)$$

現在計算机控制已被认为提高某些生产过程控制效果的有效方法之一，它实质上是一种应用綜合参数的系統。例如蒸溜塔的关于内部回流量或輸入热焓的計算控制系统^{[12][13]}，就是利用内部回流量或輸入热焓这种綜合参数作为給定参数的多网控制系统。

要进一步改善計算机控制系统的性能，必須深入研究組成綜合参数的各測点訊号間的动态关系及靜态关系，并提出减少或补偿各測点訊号間测量滞后的有效方法。

3. 动态参数的气測法

設計一个新的或調整一个現有的自动化系統时，必須知道对象的动态特性或动态参数。在自动化系統工作时，为保証系統最好的工作效果，必須随时测量对象的动态参数，并按此自动調整調節器的整定参数，甚至改变調節器的結構，这种先进系統即为自适应控制系统。目前已有很多适于在实验室条件下应用的动态参数測示仪器^[14]，其中气动低頻动态分析仪也是常用的。装在系統中連續测量对象动态参数的問題尚未得到全面解决，极少简单而有效的实用測示設備。

目前注意力都放在如何提高动态参数的测量精度及减少测量对系統正常工作的影响上，至于测量数据是否还要經過繁复的演算以便及时得到测量結果的問題，考慮得很少。

著者提出在实验室条件下应用的自动測繪对象频率特性曲綫的气动仪器的可能方案。

仪器向被测对象或元件先发出一个脉冲函数 $\delta(t)$ 形式的气压訊号，則在被测元件輸出端測出的过渡过程函数即为重量函数 $k(t)$ ，其富氏变换为

$$Y(j\omega) = \int_{-\infty}^{\infty} k(t) e^{-j\omega t} dt = \int_0^{\infty} k(t) \cos \omega t dt - j \int_0^{\infty} k(t) \sin \omega t dt \quad (23)$$

以上式右边前后兩项在一定 ω 值下的积分值作为复数平面上的横軸和纵軸值，则可得频率特性曲綫上的相应 ω 下的一定点。以不同频率即可点繪曲綫上的各点。

这一仪器由下列三部分組成：(1)双坐标記錄仪；(2)正弦波发送器；(3)計算控制线路。后者如图 16 所示，又可分成三个組成部分：(1)測算系統 I；(2)自动开关系統 II；(3)脉冲发生器 III。

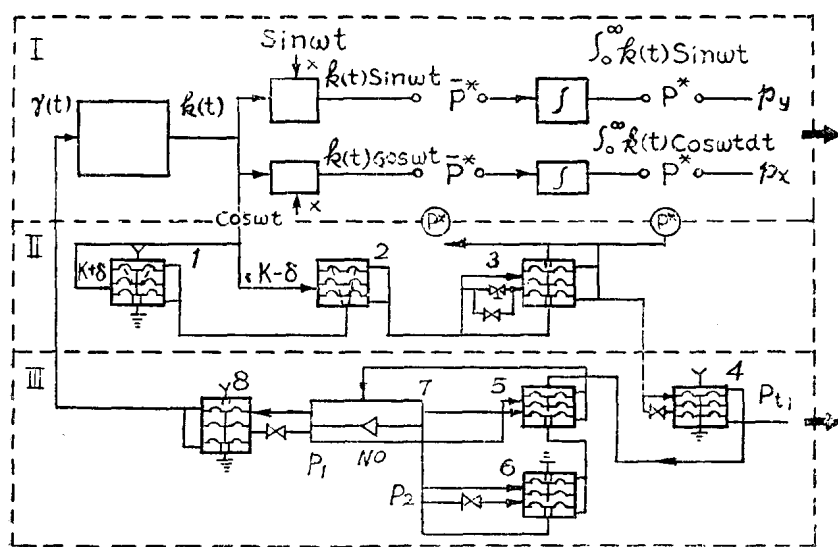


图 16

测算線路中的积分上限須加控制，以使，
 $\int_0^{t_1} \approx \int_0^{\infty}$ 。稳定
 对象的重量函数
 曲綫往往具有图
 17 所示形态，
 即在一定时间以
 后，会得如下結果
 $|k(t)| = 0$
 故取一相当小的
 δ 值和一个足够

大的 T 值，在 T 内如 $|k(t)| < \delta$ ，則可近似地认为

$$\int_0^{t_1} \approx \int_0^{\infty} \quad (24)$$

在 t_1 时，积分器前的訊号通道被切断，其后通道合上，积分器即輸出积分值

$$\begin{aligned} p_y &= \int_0^{t_1} k(t) \sin \omega t dt \approx \int_0^{\infty} k(t) \sin \omega t dt \\ p_x &= \int_0^{t_1} k(t) \cos \omega t dt \approx \int_0^{\infty} k(t) \cos \omega t dt \end{aligned} \quad (25)$$

由图 16 所示三个气动逻辑元件 1、2、3 构成的自动开关系统 II 用以检测积分时间 t_1 ，并输出讯号 p^* 。系统中所用气动逻辑元件是由 Tal 提出的^{[15][16]}。当指示 $k(t)$ 的压力在下列范围内时，

$$K - \delta < k(t) < K + \delta \quad (26)$$

供压经过元件 1 和 2，输入元件 3，经过时间 t_1 后，使自动开关系统的输出压力讯号 p^* 等于 1，此后，积分运算终止，并将积分结果送入记录仪器。同时，逻辑元件 4 发出一脉冲讯号 p_{t_1} ，送向记录仪器使其打印机构动作。打印完毕后，表示积分值 p_y 和 p_x 的压力即向大气泄空以使 $p_x = p_y = 0$ 。此后，脉冲发生器 III 即将发出另一脉冲讯号 $\delta(t)$ ，将正弦波发生器的正弦波频率调整在另一个新值上，并使上述各工作程序再次重复。

动态参数气测法尚未充分发展，但它在自动化系统中的应用是有前途的。

結論

气动自动化技术工具在其应用范围内有很大优越性。虽然在目前应用的气动测量仪器中还存在一些缺点，但它们可以进一步改善，在不久将来一定能得到进一步的推广。

測量基本热工参数的气动仪器的应用大有推广的余地。选用适当的中間轉換器，很多用常用气动测量仪器难以解决的測量問題可得到解决。基本热工参数气测法的进一步研究工作在于：拟制各种能将不同基本热工参数发送为力、压力、差压、位移和轉速的发送器；改进中間轉換器的結構。

各种型式的反饋网路可以而且已被采用，以提高轉換器的精度和保証它的稳定性。用简单的負反饋网路可以提高仪器的精度；应用串接有非周期环节的負反饋网路可以加速反应速度；应用串接有非周期环节的正反饋网路可以改善仪器的稳定性和靜态精度。

应用不同型式的气阻可以构成很多气动綫路，这些气动綫路可作为測量綫路或构成各 种具有輸入訊号与輸出訊号間不同綫性关系或非綫性关系的压力-压力轉換器。

采用新的作用原理，例如应用噴流反射力或轉速中間参数，可以扩大 气测法 的 应用范围。

綜合参数的气测法是在气动計算元件的基础上开展起来的。在工业中有不少基本热工参数要經過一定形式的运算才能最后得出測量結果。近几年来在工业控制系統中漸漸占有一定地位的計算机控制实质上就是以綜合参数为基础的。为了进一步提高計算机控制系統的性能，綜合参数測量中的动态問題和其靜态特性問題一样重要，必須进一步加以研究。

气测动态参数法可应用各种气动元件，例如气动发送器，中間轉換器，气动邏輯元件，函数发生器以及其他各种气动計算元件而得到实现。这种测量方法虽然尚未得到充分发展，但它在自动化系統中的应用是有前途的。

参考 文 献

- [1] Б. В. Вольтер, "Диномический методы контроля уровня жидкости", Приборостроение, № 7, 1961.
- [2] М. Л. Подгоецкий, "Пневматический компенсационный датчик с изодромным усилителем", Приборостроение, № 2, 1962.
- [3] А. Г. Аркадьев, Я. М. Марьиновский, М. Л. Подгоецкий, В. Л. Шварцер, М. С. Шнееров, "Обратная связь по реакции воздушной струи в пневматических преобразователях с силовой компенсацией", Приборостроение, № 2, 1961.
- [4] В. Фернер, "Элементы пневматических регуляторов", Вопросы пневмо- и гидроавтоматики, изд. АН СССР, 1960.
- [5] Л. А. Залманзон, проточные элементы пневматических приборов контроля и управления, изд. АН СССР, 1961, стр. 25 ~ 32.
- [6] И. П. Польцов, "Пневматический термометр", Приборостроение, № 5, 1960.
- [7] Ю. И. Ивличео, Э. А. Исмиров, "Новый принцип измерения расхода газов", Приборостроение, № 7, 1961.
- [8] В. Фернер, "О нелинейных звеньях в системах автоматического регулирования", Труды 1 ИФАК, теория непрерывных систем, изд. АН СССР, 1961.
- [9] Ц. П. Кривой, А. А. Новиков, Н. М. Шантурин, "Пневматические приборы для автоматизации теплового режима мартенской печи", Приборостроение, № 10, 1960.
- [10] А. Г. Ивахненко, электроавтоматика, Гостехиздат УССР, 1957, стр. 424.
- [11] A. M. Godridge, R. Jackson, G. G. Thurlow, "The Venturi Pneumatic Pyrometer", Jr. of Scientific Instruments, No. 3, 1959.
- [12] D. E. Lupfer, D. E. Berger, "Computer Control of Distillation Reflux", Jr. ISA, No. 6, 1959.
- [13] M. W. Oglesby, D. P. Lupfer, "Feed Enthalpy Computer Control of a Distillation Column", Control Eng. No. 2, 1962.
- [14] D. W. S. Clair, L. W. Erath, S. L. Gillespie, "Sine-Wave Generators", Frequency Response, The MacMillan Co., 1956.
- [15] A. A. Tai, The Pneumatic Logic Computing Devices and Their Applications, The Chinese Institute of Automation, 1960 (in Chinese).
- [16] Т. К. Беренде, А. А. Толь, "Пневматические релейные схемы", Труды 1 ифак, технические средства автоматики, изд. АН СССР, 1961.

50点气动巡回检测装置的初步研究

一机部热工仪表科学研究所 康庆宇 盛微权 张均惠

摘要 本文提出了一个简单可行的气动巡回检测装置。这个装置能巡回检测由50个一次仪表（输出为0.2-1公斤力/厘米²标准信号的变送器）送来的压力信号，可将模拟量转换成数字量，以4秒钟一点的速度打印出数字，准确度在±1%以内。并有对每个参数的监视报警装置和备作手动选测等的切换机构。

文章中将这个装置作了具体介绍。其中数字转换是利用一种类似落弓的机械随动机构，不需要经过复杂的编码译码过程，直接就可以进行数字转换；数据打印采用一次印出方式，能将检测的时间、序号和参数的数字同时打印出来；监视装置的上限和下限给定值是利用一个转动轮盘和杠杆机构，使两个定值器按所给定的数值分别依次给定，不需每个参数的给定值都用定值器。因此整个装置结构简单，体积仅400×450×600毫米。它与气动单元组合仪表配合使用，将使生产过程集中管理得到进一步的提高。

一 前 言

近年来，由于工业的飞跃发展，自动化程度的日益提高，实现生产过程综合自动化与全盘自动化的任务已经提到日程上，迫切要求仪表研究和设计部门提供多种多样的新型自动化工具。

目前，在一些大规模的生产部门，开始采用电子巡回检测和数据处理装置。它可以迅速地将系统中各个参数，依次巡回自动进行检测、打字和监视等，并可将检测结果，自动进行计算和处理。代替了很多生产管理工作，改善了对产品质量的控制，使整个生产过程自动化的程度大大提高了一步。

电子巡回检测的速度非常快，一秒钟可以检测几百点，甚至几千点。但这些仪表的结构都比较复杂，而且所用的元件、材料以及技术要求亦很高，价格也相当贵。从一般使用要求来看，大多数热工过程自动控制中，不需要这样快的速度。并且在一些规模较小和检测参数不太大的场所，更用不着这样高级、复杂的装置。同时，如果一次仪表输出为气压信号，还需进行气—电转换，又增加了装置的复杂，在这种情况下，采用气动巡回检测装置是比较适宜的。

气动仪表在速度和传递距离方面，虽然远不及电子仪表优越，但是却具有简单可靠的特点，在目前很多工业部门，采用仍比较普遍。因此，我们开始对气动巡回检测装置进行了研究。目的是配合气动单元组合仪表的应用，代替一部分气动二次仪表，使集中管理和监视得到进一步的改善，另外对加工制造和推广使用等方面来说，具有一定的经济价值。

二 工 作 原 理

1. 基本原理

气动巡迴检测装置組成部分基本上和电子巡迴检测装置一样，主要由八个单元組成，其組合方块图見图 1。

气动巡迴检测主要是如何将被测参数压力信号，迅速地由模拟量轉換成为数字量，以及进行快速打字和越限报警等。如果仍按电子巡迴检测采用二进位的模-数轉換方法，结构将比較复杂，而且速度和精度很难保証。因此，模-数轉換利用类似落弓的机械随动机构，使特制的数字輸能跟随压力表指針轉动，这样即可简单的得到数字轉換，不需經過复杂的編碼、譯碼过程，同时速度也容易得到保証。

在打字方面，采用一次印出方式，将检测的时间、序号和参数的压力用数字同时压印出来。这样既縮短了時間，又可避免重迭打字的缺点。

在上下限越限監視方面，利用一个轉动輪盤和杠杆机构，使两个定值器，按所給定的数值，分別依次进行給定，不需每个参数的給定值都用定值器，使結構簡化，体积大大縮小。

装置具有打印和指示两套机构，使管理方便。各单元的动作，按一定的次序进行，由時間程序单元統一指揮。

装置的工作原理示于图 2，外形見图 3。

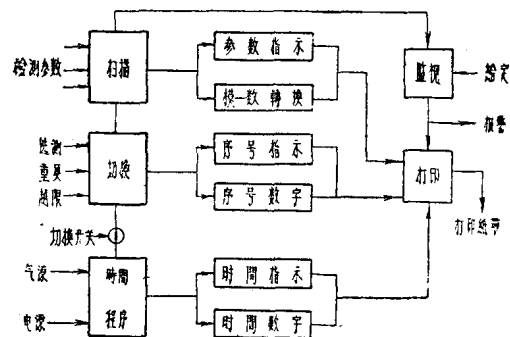


图 1

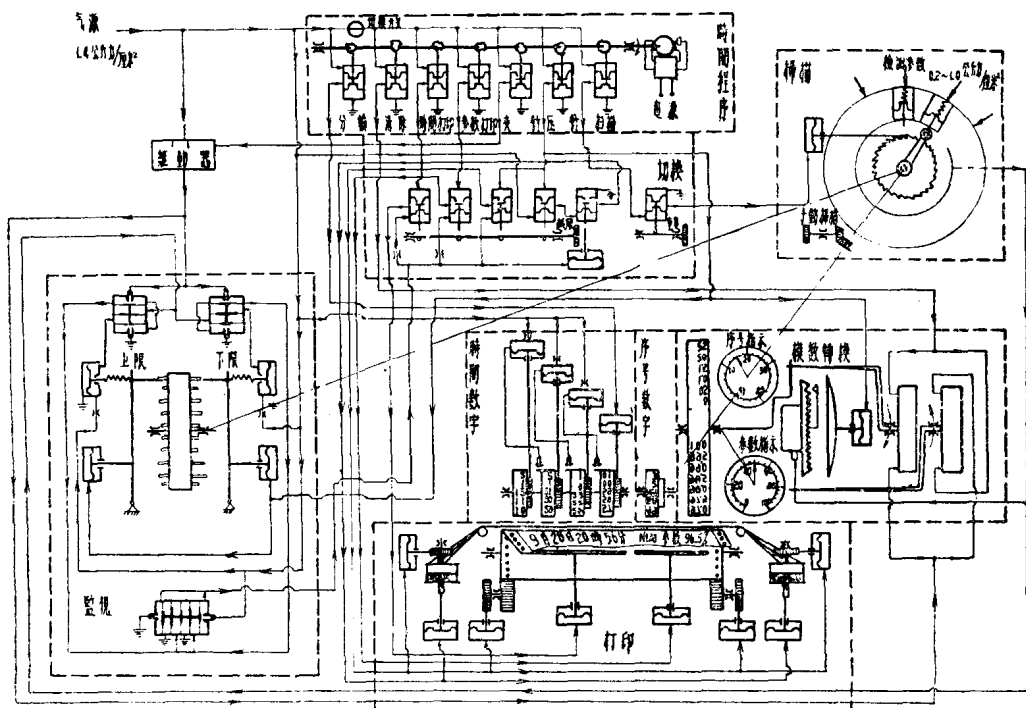


图 2

2. 各单元的结构和动作

(1) 扫描单元

扫描单元用于将测量参数循序地与模-数转换单元接通，以供检测之用。其外形见图4。

测量参数为0.2—1公斤力/厘米²范围的压力信号，由一次仪表（变送器）分别送到各个小型气阀，这些气阀排列成一个圆周，靠凸轮依次推开气阀，将测量参数一个个地接通；而凸轮的转动是由时间程序单元操纵气动推动器推动棘轮来实现的。

(2) 模-数转换单元

模-数转换单元用于将被测参数信号进行测量并转换成数字，以供打印。

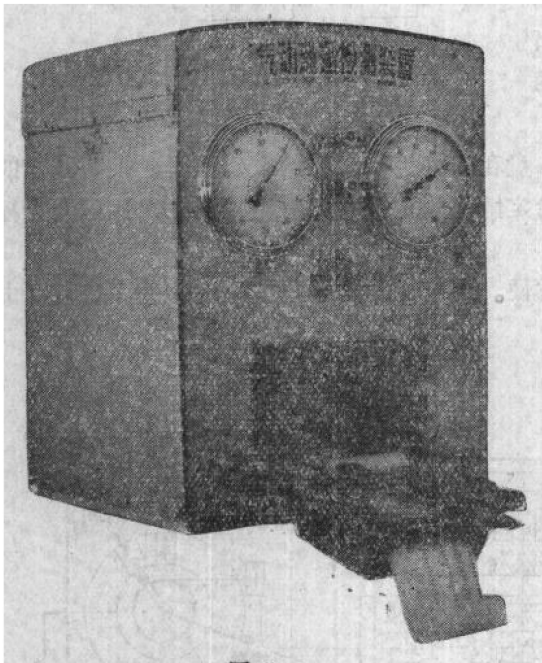


图 3

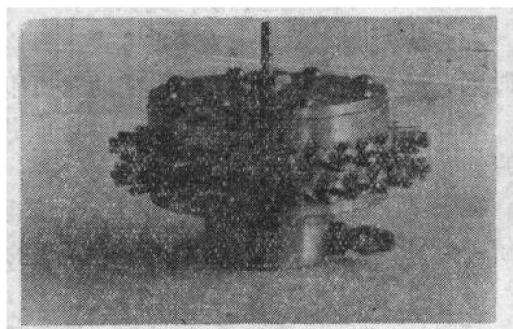


图 4

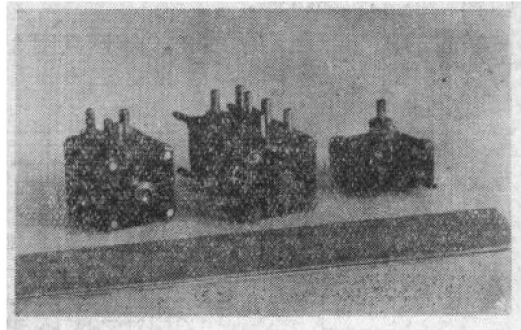


图 5

扫描单元来的压力信号，送到一个特制压力表中，压力表刻度做成带锯齿的圆盘形式，齿数为200个。在压力表前面同一个轴线位置装有一个数字轮，轮上有200行数字。当压力表指针稳定在一个位置时，由压板将这个指针压入锯齿槽内，锯齿槽的作用为：一方面保证指针压紧后的位置不变，另一方面可将被测参数的小数以四舍五入的方法去掉，使打印出来的数字完整。在压力表指针被压紧后，即相当于一个固定点。然后利用两个扇形气缸的旋转活塞带动夹杆从二个方面围绕压力表指针并拢，并带动摇臂，而摇臂是和数字轮连成一体的。因此数字轮也随之转动，直到摇臂与指针相重合为止。这样，在打印位置出现的数字，即为参数压力数值。

(3) 序号数字单元

序号数字单元用于将检测参数的编号表示为数字，以供打印。为此，将一个序号数字轮安装在扫描凸轮轴上，凸轮转动时，带动序号数字轮，这样在打印方向出现的数字，即代表检测参数的序号。

(4) 時間數字單元

時間數字單元用於將測量時間表為數字，以供打印。

採用四個數字輪，按“月”“日”“時”“分”排列，每個數字輪上裝有棘輪。由時間程序單元每分鐘發出一個脈衝信號，推動“分”位數字輪轉動，並利用噴嘴-擋板系統實現進位。此外，附裝有一套齒輪機構，備作校準時間之用。

(5) 監視單元

監視單元用於對參數越限進行監視，可給定每個參數的上限與下限數值，並在參數越限時進行發訊報警，其主要元件見圖5。

上限及下限的給定值，是利用兩個定值器和一個與掃描單元同軸的輪盤逐點給定的。在輪盤兩面沿着圓周各有50個調距螺釘，螺釘的高低位置與給定壓力成一定的比例關係；當給定輪轉到某一位置後，推動器即推動杠杆，直到與螺釘接觸為止，而杠杆又與定值器的彈簧相連，這樣就使定值器產生一個相應大小的給定壓力信號。然後將給定壓力與參數壓力送到上限與下限二個比較元件中進行比較，比較後的輸出再送到綜合元件。因此只要參數超越某一個給定界限時，綜合元件即有輸出，操縱色帶，使打印出來的字成為紅字，並供作報警。

(6) 打印單元

打印單元的作用是將轉換出來的參數、時間、序號等數字加以打印。

打印是利用壓板，將記錄紙和色帶一起壓到參數、時間及序號的數字輪上，印出數字。其打印、推紙動作和色帶的移動等均由時間程序單元通過推動器來操縱。而色帶顏色的改變是由監視單元來控制的。

(7) 時間程序單元

時間程序單元的程序時間由同步電機來加以保證。同步電動機帶動凸輪，而凸輪是按工作程序排列的。在轉動時，各凸輪即依次打開三通氣閥，發出脈衝信號，操縱各單元的推動器，從而使整個裝置按一定的順序工作。當凸輪將三通氣閥推杆壓下時，氣源與推動器接通；當凸輪離開推杆時，推動器則通大氣。

(8) 切換單元

切換單元是一個輔助裝置，主要有下面三個作用：

- 1) 手動選測 目的在於及時選測某个需要的參數。將自動-手動切換開關放到手動位置，然後轉動手動掃描旋鈕，即可實現。
- 2) 重複檢測 即對一個參數進行重複測量。為此，只須將掃描推動器氣路切斷，使掃描停止即可。
- 3) 越限檢測 仅將越限的參數打印，而不越限的參數只作指示。其打印動作借 助於氣動開關將打印單元的推動器改用監視單元的綜合元件來操縱。

三 檢測速度和準確度

1. 檢測速度的分析

檢測週期是掃描時間，模-數轉換時間，打印時間及清除時間的和。

檢測的動作過程如圖6所示

- (1) 掃描時間 t_1 即由掃描凸輪打開氣閥到壓力表指針指示穩定的時間。